

механика материалов. – 1980. – Т.16, № 3. –С.67-70. **3.** Сошко А.И. Механохимическая обработка металлов.// Полимеры в технологических процессах обработки металлов. Киев: Наук. Думка,1977.С.10-16. **4.** Бабейко Ю.Н. Физические основы импульсного упрочнения стали и чугуна. – Киев: Наукова думка, 1988. – 246 с. **5.** Бокштейн С.З. Строеение и свойства металлических сплавов. – М.: Металлургия, 1971. – 496с. **6.** Захаров М.В., Захаров А.М. Жаропрочные сплавы. – М.: Металлургия, 1972. – 367 с. **7.** Фризель Ж. Наклеп и распространение трещины // Атомный механизм разрушения. – М.: Металлургия, 1963. – С.504. **8.** Екобори Т. Физика и механика разрушения и прочности твердых тел. - М.: Металлургия, 1976. – 246 с.

Сдано в редакцию 29.04.05  
Рекомендовано д.т.н., проф. Керекеш Т.

## ИССЛЕДОВАНИЕ ИЗМЕНЕНИЯ ПАРАМЕТРОВ КООРДИНАТНЫХ ЛИНИЙ ТОНКОСТЕННОГО ЦИЛИНДРА В ПРОЦЕССЕ ЕГО ДЕФОРМАЦИИ

Стрельников В.Н. (АО «НКМЗ», г. Краматорск, Украина)

*The analysis of coordinate grid modification at a strain of the thin cylinder is carried out. The bending of a median surface without extensions, compression and angular distortions of a coordinate grid impact upon bending deformity through of the cylinder width, it is established. Obtained data are used for a rate of stressed state and optimization of design parameters of elastic rollers in transmissions with intermediate rollers.*

**Введение.** Традиционные конструкции зубчатых и червячных передач во многом исчерпали свои функциональные возможности. Современные тенденции наращивания производительности крупного высокотехнологичного оборудования сталкиваются с непомерным ростом габаритно - весовых характеристик механического привода. Единичные массы редукторов достигли многих десятков и даже сотен тонн, став одним из сдерживающих факторов прогрессивного развития тяжёлого машиностроения. Для повышения нагрузочной способности передающих механизмов используют многопоточные силовые кинематические схемы, в т. ч. с гибкими звеньями, упругие деформации которых упрощают технику дифференцирования силовых потоков. Многократно снижаются нагрузки на зубья, устраняются ограничения по критериям заедания, изгибным и контактным напряжениям, минимизируются габариты и металлоёмкость трансмиссий и приводных устройств. В передачах с промежуточными телами качения ролики выполнены в форме тонкостенных цилиндров – однослойных или многослойных (рис. 1). Определение упругих характеристик промежуточных тел качения – представляет актуальную задачу расчёта и проектирования новых разновидностей высоконагруженных передач зацеплением (рис. 2, 3).

Цель исследований представляет уровень влияния деформации тонкостенного ролика на кривизну и кручение сетки координатных линий.

**Содержание работы.** Получим формулы для определения изменения кривизны координатных линий срединной поверхности в результате ее деформации. За координатные линии принимаем параметризованную сеть ортогональных координатных линий, являющихся для поверхности линиями кривизны. Вначале получим вспомогательные формулы. Координаты точек недеформированной срединной поверхности обозначим  $\xi_1, \xi_2$ . Введем орты  $\vec{e}_1, \vec{e}_2, \vec{k}$ . Орт  $\vec{e}_1$  направлен вдоль линии  $\xi_1$ , орт  $\vec{e}_2$  вдоль линии  $\xi_2$  и орт  $\vec{k}$  перпендикулярный к  $\vec{e}_1$  и  $\vec{e}_2$  и образует с ними правую систему координат:

$\vec{k} = \vec{e}_1 \times \vec{e}_2$  [1]. Элемент дуги срединной поверхности:  $dS^2 = \alpha_1^2 \cdot d\xi_1^2 + \alpha_2^2 \cdot d\xi_2^2$ .

Производные ортов  $\vec{e}_1, \vec{e}_2, \vec{k}$  по координатам  $\xi_1, \xi_2$  (рис. 4) [2]

$$\frac{\partial \vec{k}}{\partial \xi_1} = -\frac{\alpha_1}{R_1} \vec{e}_1, \quad \frac{\partial \vec{k}}{\partial \xi_2} = -\frac{\alpha_2}{R_2} \vec{e}_2. \quad (1)$$

При определении положения точек срединной поверхности радиусом вектором в силу непрерывности:  $\frac{\partial^2 \vec{r}}{\partial \xi_1 \partial \xi_2} = \frac{\partial^2 \vec{r}}{\partial \xi_2 \partial \xi_1}$ , или  $\frac{\partial}{\partial \xi_2} \left( \frac{\partial \vec{r}}{\partial \xi_1} \right) = \frac{\partial}{\partial \xi_1} \left( \frac{\partial \vec{r}}{\partial \xi_2} \right)$ , откуда следует

$$\frac{\partial}{\partial \xi_2} (\alpha_1 \cdot \vec{e}_1) = \frac{\partial}{\partial \xi_1} (\alpha_2 \cdot \vec{e}_2). \quad (2)$$

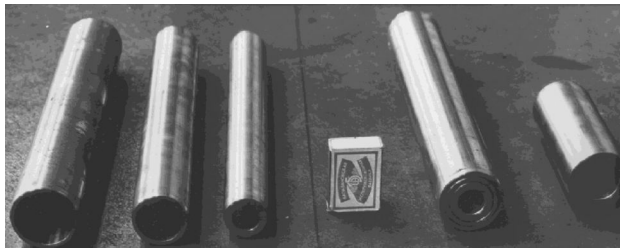


Рис. 1. Многослойные ролики

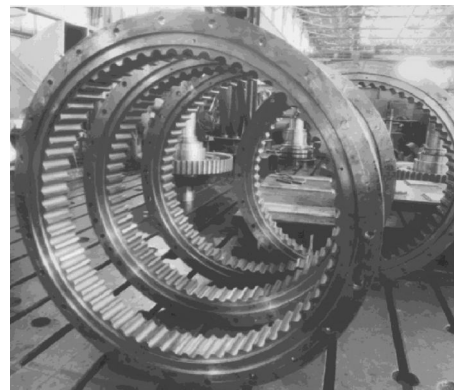


Рис. 2. Зубчатые колёса с внутренними круговыми зубьями

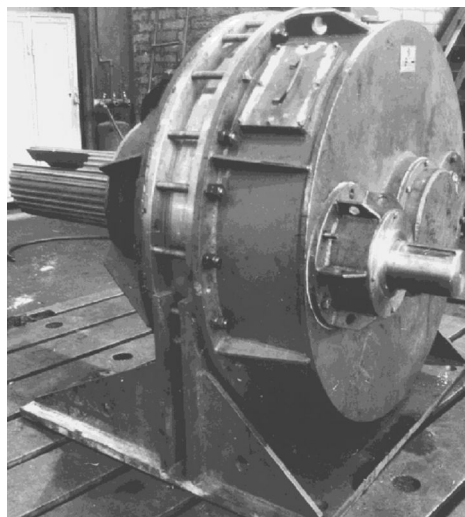


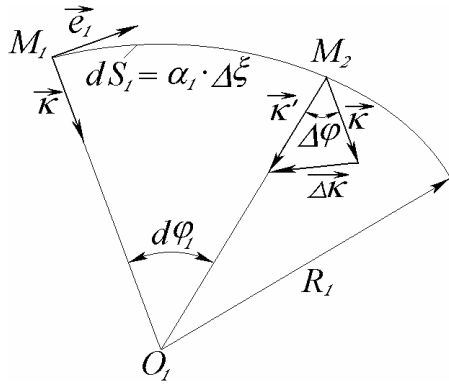
Рис. 3. Редуктор специальный с промежуточными телами качения

Найдем составляющие вектора  $\frac{\partial \vec{e}_1}{\partial \xi_1}$ , проецируя его на направления  $\vec{e}_1, \vec{e}_2, \vec{k}$ .

Определим проекцию  $\frac{\partial \bar{e}_1}{\partial \xi_1}$  на направление  $\bar{e}_2$ . Составим :

$$\left( \bar{e}_2 \cdot \frac{\partial \bar{e}_1}{\partial \xi_1} \right) = \frac{\partial (\bar{e}_2 \cdot \bar{e}_1)}{\partial \xi_1} - \left( \bar{e}_1 \cdot \frac{\partial \bar{e}_2}{\partial \xi_1} \right) = - \left( \bar{e}_1 \cdot \frac{\partial \bar{e}_2}{\partial \xi_1} \right), \quad (3)$$

откуда:



$$\frac{\partial \bar{e}_2}{\partial \xi_1} = \frac{1}{\alpha_2} \frac{\partial}{\partial \xi_2} (\alpha_1 \cdot \bar{e}_1) - \frac{1}{\alpha_2} \frac{\partial \alpha_2}{\partial \xi_1} \bar{e}_2. \quad (4)$$

Подставим выражение (4) в (3), получим значение

проекции  $\frac{\partial \bar{e}_1}{\partial \xi_1}$  на направление  $\bar{e}_2$

$$\left( \bar{e}_2 \cdot \frac{\partial \bar{e}_1}{\partial \xi_1} \right) = - \frac{1}{\alpha_2} \frac{\partial \alpha_1}{\partial \xi_2}. \quad (5)$$

Находим проекцию  $\frac{\partial \bar{e}}{\partial \xi_1}$  на  $\bar{k}$ . Составим

скалярное произведение [3]

Рис. 3. Определение частной производной орта нормали к срединной поверхности

$$\left( \bar{k} \cdot \frac{\partial \bar{e}_1}{\partial \xi_1} \right) = \frac{\partial}{\partial \xi_1} (\bar{k} \cdot \bar{e}_1) - \left( \bar{e}_1 \cdot \frac{\partial \bar{k}}{\partial \xi_1} \right),$$

откуда

$$\frac{\partial \bar{k}}{\partial \xi_1} = - \left( \frac{\alpha_1}{R_1} \cdot \bar{e}_1 \right). \quad (6)$$

Получим 
$$\left( \bar{k} \cdot \frac{\partial \bar{e}_1}{\partial \xi_1} \right) = \frac{\alpha_1}{R_1} (\bar{e}_1 \cdot \bar{e}_1) = \frac{\alpha_1}{R_1}.$$

В результате получим разложение:

$$\frac{\partial \bar{e}_1}{\partial \xi_1} = - \frac{1}{\alpha_2} \frac{\partial \alpha_1}{\partial \xi_2} \bar{e}_2 + \frac{\alpha_1}{R_1} \bar{k}, \quad (7)$$

и аналогично

$$\frac{\partial \bar{e}_2}{\partial \xi_2} = - \frac{1}{\alpha_1} \frac{\partial \alpha_2}{\partial \xi_1} \bar{e}_1 + \frac{\alpha_2}{R_2} \bar{k}. \quad (8)$$

Найдем разложение производной  $\frac{\partial \bar{e}_1}{\partial \xi_2}$ . Т. к.  $\left( \bar{e}_1 \cdot \frac{\partial \bar{e}_1}{\partial \xi_2} \right) = 0$ , то вектор  $\bar{e}_1$  может иметь составляющие по ортам  $\bar{e}_2, \bar{e}_3$ . Воспользуемся соотношением

$$\frac{\partial (\alpha_1 \cdot \bar{e}_1)}{\partial \xi_2} = \frac{\partial (\alpha_2 \cdot \bar{e}_2)}{\partial \xi_1}, \quad \frac{\partial \alpha_1}{\partial \xi_2} \bar{e}_1 + \alpha_1 \frac{\partial \bar{e}_1}{\partial \xi_2} = \frac{\partial \alpha_2}{\partial \xi_1} \bar{e}_1 + \alpha_2 \frac{\partial \bar{e}_2}{\partial \xi_1},$$

$$\frac{\partial \alpha_1}{\partial \xi_2} = \frac{1}{\alpha_2} \frac{\partial \alpha_2}{\partial \xi_1} \bar{e}_2 + \frac{\alpha_2}{\alpha_1} \frac{\partial \bar{e}_2}{\partial \xi_1} - \frac{1}{\alpha_1} \frac{\partial \alpha_1}{\partial \xi_1} \bar{e}_1. \quad \text{Находим:}$$

$$\left. \begin{aligned} \bar{e}_2 \cdot \frac{\partial \bar{e}_1}{\partial \xi_2} &= \frac{1}{\alpha_1} \frac{\partial \alpha_2}{\partial \xi_1} (\bar{e}_2 \cdot \bar{e}_2) + \left( \frac{\alpha_2}{\alpha_1} \right) \left( \bar{e}_2 \cdot \frac{\partial \bar{e}_2}{\partial \xi_1} \right) - \frac{1}{\alpha_1} \frac{\partial \alpha_1}{\partial \xi_1} (\bar{e}_2 \cdot \bar{e}_1) = \frac{1}{\alpha_1} \frac{\partial \alpha_2}{\partial \xi_1}, \\ \bar{k} \cdot \frac{\partial \bar{e}_1}{\partial \xi_2} &= \frac{\partial}{\partial \xi_2} (\bar{k} \cdot \bar{e}_1) - \left( \bar{e}_1 \cdot \frac{\partial \bar{k}}{\partial \xi_2} \right) = 0. \end{aligned} \right\} \quad (9)$$

В результате получим разложения:

$$\frac{\partial \bar{e}_1}{\partial \xi_2} = \frac{1}{\alpha_1} \frac{\partial \alpha_2}{\partial \xi_1} \bar{e}_2, \quad \frac{\partial \bar{e}_2}{\partial \xi_1} = \frac{1}{\alpha_2} \frac{\partial \alpha_1}{\partial \xi_2} \bar{e}_1. \quad (10)$$

При деформации срединной поверхности ее точки получают смещения  $U_{10}, U_{20}, W$ . Координатные линии  $\xi_1, \xi_2$  переходят в линии  $\xi_1^*, \xi_2^*$ , а орты  $\bar{e}_1, \bar{e}_2, \bar{k}$  в  $\bar{e}_1^*, \bar{e}_2^*, \bar{k}^*$

$$\bar{e}_1^* = \bar{e}_1 + w_1 \bar{e}_2 - v_1 \bar{k}, \quad \bar{e}_2^* = w_2 \bar{e}_1 + \bar{e}_2 - v_2 \bar{k}, \quad \bar{k}^* = v_1 \bar{e}_1 + v_2 \bar{e}_2 + \bar{k}. \quad (11)$$

Выразим  $w_1, w_2, v_1, v_2$  через  $U_{10}, U_{20}, W$  и их производные. Введем радиус вектор  $\bar{R}$  деформированной срединной поверхности оболочки

$$\bar{R} = \bar{r} + \bar{U} = \bar{r} + \bar{U}_{10} \bar{e}_1 + \bar{U}_{20} \bar{e}_2 + W \cdot \bar{k}. \quad (11)$$

Дифференцируем  $\bar{R}$  по  $\xi_1$

$$\begin{aligned} \frac{\partial \bar{R}}{\partial \xi_1} = & \left( \alpha_1 + \frac{\partial U_{10}}{\partial \xi_1} + \frac{1}{\alpha_2} \frac{\partial \alpha_1}{\partial \xi_2} U_{20} + \frac{\alpha_1}{R_1} W \right) \bar{e}_1 \\ & + \left( \frac{\partial U_{20}}{\partial \xi_1} - \frac{1}{\alpha_2} \frac{\partial \alpha_1}{\partial \xi_2} U_{10} \right) \bar{e}_2 + \left( \frac{\partial W}{\partial \xi_1} + \frac{\alpha_1}{R_1} U_{10} \right) \bar{k}. \end{aligned} \quad (12)$$

Делим равенство (12) на  $\alpha_1$  и введем представление:

$$\frac{1}{\alpha_1} \frac{\partial \bar{R}}{\partial \xi_1} = (1 + \epsilon_1) \bar{e}_1 + w_1 \cdot \bar{e}_2 - v_1 \cdot \bar{k}, \quad (13)$$

$$\left. \begin{aligned} \text{где } \epsilon_1 = & \frac{1}{\alpha_1} \frac{\partial U_{10}}{\partial \xi_1} + \frac{1}{\alpha_1 \cdot \alpha_2} \frac{\partial \alpha_1}{\partial \xi_2} U_{20} + \frac{1}{R_1} W, \\ w_1 = & \frac{1}{\alpha_1} \frac{\partial U_{20}}{\partial \xi_1} - \frac{1}{\alpha_1 \cdot \alpha_2} \frac{\partial \alpha_1}{\partial \xi_2} U_{10}, \quad -v_1 = \frac{1}{\alpha_1} \frac{\partial W}{\partial \xi_1} + \frac{\partial U_{10}}{R_1}. \end{aligned} \right\} \quad (14)$$

$$\text{Аналогично:} \quad \frac{1}{\alpha_2} \frac{\partial \bar{R}}{\partial \xi_2} = w_2 \cdot \bar{e}_1 - (1 + \epsilon_2) \bar{e}_2 - v_2 \bar{k}, \quad (15)$$

$$\left. \begin{aligned} \text{где } \epsilon_2 = & \frac{1}{\alpha_2} \frac{\partial U_{20}}{\partial \xi_2} + \frac{1}{\alpha_1 \cdot \alpha_2} \frac{\partial \alpha_2}{\partial \xi_1} U_{10} + \frac{W}{R_2}, \\ w_2 = & \frac{1}{\alpha_2} \frac{\partial U_{10}}{\partial \xi_2} - \frac{1}{\alpha_1 \cdot \alpha_2} \frac{\partial \alpha_2}{\partial \xi_1} U_{20}, \quad -v_2 = \frac{1}{\alpha_2} \frac{\partial W}{\partial \xi_2} + \frac{\partial U_{20}}{R_2}. \end{aligned} \right\} \quad (16)$$

Определим орты координатных линий

$$\bar{e}_1^* = \frac{1}{\alpha_1^*} \frac{\partial \bar{R}}{\partial \xi_1}, \quad \bar{e}_2^* = \frac{1}{\alpha_2^*} \frac{\partial \bar{R}}{\partial \xi_2}, \quad (\bar{e}_1^* \cdot \bar{e}_1^*) = 1 = \frac{1}{(\alpha_1^*)^2} \left( \frac{\partial \bar{R}}{\partial \xi_1} \cdot \frac{\partial \bar{R}}{\partial \xi_1} \right). \quad (17)$$

Отсюда определим

$$\alpha_1^* = \sqrt{\frac{\partial \bar{R}}{\partial \xi_1} - \frac{\partial \bar{R}}{\partial \xi_1}}. \quad (18)$$

Из равенства (13) с точностью до малых высшего порядка малости определяем

$$\frac{\partial \bar{R}}{\partial \xi_1} \approx \alpha_1 (1 + \epsilon) \bar{e}_1. \quad (19)$$

Находим приближенное значение  $\alpha_1^*$  и  $\alpha_2^*$

$$\alpha_1^* \approx \alpha_1 (1 + \epsilon_1), \quad \alpha_2^* \approx \alpha_2 (1 + \epsilon_2). \quad (20)$$

Отбросим малые величины высшего порядка малости и получим разложение:

$$\left. \begin{aligned} \bar{e}_1^* &= \bar{e}_1 + \frac{w_1}{1 + \epsilon_1} \bar{e}_2 - \frac{v_1}{1 + \epsilon_1} \bar{k} \approx \bar{e}_1 + w_1 \bar{e}_2 - v_1 \bar{k}, \\ \bar{e}_2^* &= w_2 \bar{e}_1 + \bar{e}_2 - v_2 \bar{k}, \\ \bar{k}^* &\approx \bar{e}_1 v_1 + \bar{e}_2 v_2 + \bar{k}. \end{aligned} \right\} \quad (21)$$

Находим кривизну деформированной координатой линии в предположении, что срединная поверхность изгибается без растяжений и сжатий.

$$\frac{1}{R_1^*} = \lim_{\Delta S \rightarrow 0} \left( \frac{\Delta \bar{e}_1^*}{\Delta S_1} \cdot \bar{k}^* \right) = \left( \frac{1}{\alpha_1} \cdot \frac{\partial \bar{e}_1^*}{\partial \xi_1} \cdot \bar{k}^* \right). \quad (22)$$

Находим множитель, входящий в выражение (22)

$$\frac{\partial \bar{e}_1^*}{\partial \xi_1} = \frac{\partial \bar{e}_1}{\partial \xi_1} + \frac{\partial w_1}{\partial \xi_1} \bar{e}_2 + w_1 \frac{1}{\alpha_2} \frac{\partial \alpha_1}{\partial \xi_2} \bar{e}_1 - \frac{\partial v_1}{\partial \xi_1} \bar{k} - v_1 \frac{\alpha_1}{R_1} \bar{e}_1. \quad (23)$$

Подставим значения выражений (21) и (23) в формулу (22) с учетом формулы (7)

$$\begin{aligned} \frac{1}{R_1^*} &= \frac{1}{\alpha_1} (\bar{e}_1 v_1 + \bar{e}_2 v_2 + \bar{k}) \cdot \left( -\frac{1}{\alpha_2} \frac{\partial \alpha_1}{\partial \xi_2} \bar{e}_2 + \frac{\alpha_1}{R_1} \bar{k} + \frac{\partial w_1}{\partial \xi_1} \bar{e}_2 \right) + \\ &+ \left( \frac{w_1}{\alpha_2} \frac{\partial \alpha_1}{\partial \alpha_2} - v_1 \frac{\alpha_1}{R_1} \right) \bar{e}_1 - \frac{\partial v_1}{\partial \xi_1} \bar{k}. \end{aligned}$$

Отбрасываем малые величины высшего порядка малости:

$$\frac{1}{R_1^*} = \left( -\frac{v_2}{\alpha_2} \frac{\partial \alpha_1}{\partial \xi_2} + \frac{\alpha_1}{R_1} - \frac{\partial v_1}{\partial \xi_1} \right) \frac{1}{\alpha_1}. \quad (24)$$

Заменим  $v_1$  и  $v_2$  по формулам (14), (16):

$$\frac{1}{R_1^*} = \frac{1}{R_1} + \frac{1}{\alpha_1} \frac{\partial}{\partial \xi_1} \left( \frac{U_{10}}{R_1} + \frac{1}{\alpha_1} \frac{\partial w}{\partial \xi_1} \right) + \frac{1}{\alpha_1 \cdot \alpha_2} \left( \frac{1}{\alpha_2} \frac{\partial w}{\partial \xi_2} + \frac{U_{20}}{R_2} \right) \frac{\partial \alpha_1}{\partial \xi_2}. \quad (25)$$

Находим изменение кривизны

$$\chi_1 = \frac{1}{R_1^*} - \frac{1}{R_1}. \quad (26)$$

Из формулы (25) следует

$$\chi_1 = \frac{1}{\alpha_1} \frac{\partial}{\partial \xi_1} \left( \frac{U_{10}}{R_1} + \frac{1}{\alpha_1} \frac{\partial w}{\partial \xi_1} \right) + \frac{1}{\alpha_1 \alpha_2} \left( \frac{1}{\alpha_2} \frac{\partial w}{\partial \xi_2} + \frac{U_{20}}{R_2} \right) \frac{\partial \alpha_1}{\partial \xi_2}. \quad (27)$$

Формулы для  $\varepsilon_1$ ,  $\varepsilon_2$ ,  $\gamma_{1,2}$  представим в виде:

$$\varepsilon_1 = \varepsilon_{10} - Z \chi_1; \quad \varepsilon_2 = \varepsilon_{20} - Z \chi_2; \quad \gamma_{1,2} = \gamma_0 - 2Z \chi_{1,2}. \quad (28)$$

Выражения компонент деформации срединной поверхности:

$$\left. \begin{aligned} \varepsilon_{10} &= \frac{1}{\alpha_1} \frac{\partial U_{10}}{\partial \xi_1} + \frac{U_{20}}{\alpha_1 \alpha_2} \frac{\partial \alpha_1}{\partial \xi_2} - \frac{w}{R_1}, \\ \varepsilon_{20} &= \frac{1}{\alpha_2} \frac{\partial U_{20}}{\partial \xi_2} + \frac{U_{10}}{\alpha_1 \alpha_2} \frac{\partial \alpha_2}{\partial \xi_1} - \frac{w}{R_2}, \\ \gamma_0 &= \frac{\alpha_2}{\alpha_1} \frac{\partial}{\partial \xi_1} \left( \frac{U_{20}}{\alpha_2} \right) + \frac{\alpha_1}{\alpha_2} \frac{\partial}{\partial \xi_2} \left( \frac{U_{10}}{\alpha_1} \right). \end{aligned} \right\} \quad (29)$$

Выражения изменения кривизны и кручения срединной поверхности:

$$\left. \begin{aligned} \chi_1 &= \frac{1}{\alpha_1} \frac{\partial}{\partial \xi_1} \left( \frac{U_{10}}{R_1} + \frac{1}{\alpha_1} \frac{\partial w}{\partial \xi_1} \right) + \frac{1}{\alpha_1 \alpha_2} \left( \frac{U_{20}}{R_2} + \frac{1}{\alpha_2} \frac{\partial w}{\partial \xi_2} \right) \frac{\partial \alpha_1}{\partial \xi_2}, \\ \chi_2 &= \frac{1}{\alpha_2} \frac{\partial}{\partial \xi_2} \left( \frac{U_{20}}{R_2} + \frac{1}{\alpha_2} \frac{\partial w}{\partial \xi_2} \right) + \frac{1}{\alpha_1 \alpha_2} \left( \frac{U_{10}}{R_1} + \frac{1}{\alpha_1} \frac{\partial w}{\partial \xi_1} \right) \frac{\partial \alpha_2}{\partial \xi_1}, \\ \chi_{1,2} &= \frac{1}{2} \left[ \frac{\alpha_2}{\alpha_1} \frac{\partial}{\partial \xi_1} \left( \frac{U_{20}}{\alpha_2 R_2} + \frac{1}{\alpha_2^2} \frac{\partial w}{\partial \xi_2} \right) + \frac{\alpha_1}{\alpha_2} \frac{\partial}{\partial \xi_2} \left( \frac{U_{10}}{\alpha_1 R_1} + \frac{1}{\alpha_1^2} \frac{\partial w}{\partial \xi_1} \right) \right]. \end{aligned} \right\} \quad (30)$$

Сопоставляя выражения (27) и (30), убеждаемся, что величина  $\chi_1$ , входящая в формулу (28), для  $\varepsilon_1$  действительно представляет изменение кривизны координатной линии  $\xi_1$ . Аналогично устанавливаем смысл величины  $\chi_2$ . Таким образом изгибные деформации оболочки определяются изгибанием срединной поверхности.

Определим кручение исходной координатной сетки

$$\chi_{1,2} = \frac{1}{2} \left[ \left( \frac{\partial \vec{e}_1}{\partial S_2} \cdot \vec{k} \right) + \left( \frac{\partial \vec{e}_2}{\partial S_1} \cdot \vec{k} \right) \right] = \frac{1}{2\alpha_2} \left( \frac{\partial \vec{e}_2}{\partial \xi_2} \cdot \vec{k} \right) + \frac{1}{2\alpha_1} \left( \frac{\partial \vec{e}_1}{\partial \xi_1} \cdot \vec{k} \right). \quad (31)$$

Производные ортов  $\frac{\partial \vec{e}_1}{\partial \xi_2}$  и  $\frac{\partial \vec{e}_2}{\partial \xi_1}$  заменим по формулам (10):

$$\chi_{1,2} = \frac{1}{2\alpha_2} \left( \frac{1}{\alpha_1} \cdot \frac{\partial \alpha_2}{\partial \xi_1} \right) (\vec{e}_2 \cdot \vec{k}) + \frac{1}{2\alpha_1} \left( \frac{1}{\alpha_2} \frac{\partial \alpha_1}{\partial \xi_2} \right) (\vec{e}_1 \cdot \vec{k}). \quad (32)$$

В силу ортогональности разноименных ортов из формулы (32) получим  $\chi_{1,2} = 0$ .

Вычислим изменение кручения элемента срединной поверхности без учета деформации сдвига. Пренебрегаем искажением угла между координатными линиями  $\xi_1$  и  $\xi_2$  вследствие деформации сдвига. Т.к. для исходной координатной сетки  $\xi_1$ ,  $\xi_2$  кручение равно нулю, то изменение кручения деформированной сетки равно ее кручению.

Изменение кручения вычисляем по формуле

$$\chi_{1,2}^* = \frac{1}{2} \left[ \left( \frac{\partial \vec{e}_1^*}{\partial S_2} \cdot \vec{k}^* \right) + \left( \frac{\partial \vec{e}_2^*}{\partial S_1} \cdot \vec{k}^* \right) \right] = \frac{1}{2} \left[ \frac{1}{\alpha_2} \left( \frac{\partial \vec{e}_1^*}{\partial \xi_2} \cdot \vec{k}^* \right) + \frac{1}{\alpha_1} \left( \frac{\partial \vec{e}_2^*}{\partial \xi_1} \cdot \vec{k}^* \right) \right]. \quad (33)$$

Пользуясь формулами (21), (10), (8), (1), находим:

$$\frac{\partial \bar{e}_1^*}{\partial \xi_2} = \frac{w_1}{\alpha_1} \frac{\partial \alpha_2}{\partial \xi_1} \bar{e}_1 + \left( \frac{1}{\alpha_1} \frac{\partial \alpha_2}{\partial \xi_1} + \frac{\partial w_1}{\partial \xi_2} v_1 \frac{\alpha_2}{R_2} \right) \bar{e}_2 + \left( w_1 \frac{\alpha_2}{R_2} - \frac{\partial v_1}{\partial \xi_2} \right) \bar{k}. \quad (34)$$

Пользуясь выражениями (34), (21), определяем значения.

$$\left. \begin{aligned} \frac{1}{\alpha_2} \left( \frac{\partial \bar{e}_1^*}{\partial \xi_2} \cdot \bar{k}^* \right) &= \frac{1}{\alpha_1 \cdot \alpha_2} \frac{\partial \alpha_2}{\partial \xi_1} v_2 - \frac{1}{\alpha_2} \frac{\partial v_1}{\partial \xi_2} + \frac{1}{R_2} w_1, \\ \frac{1}{\alpha_1} \left( \frac{\partial \bar{e}_2^*}{\partial \xi_1} \cdot \bar{k}^* \right) &= \frac{1}{\alpha_1 \cdot \alpha_2} \frac{\partial \alpha_1}{\partial \xi_2} v_1 - \frac{1}{\alpha_1} \frac{\partial v_2}{\partial \xi_1} + \frac{1}{R_1} w_2. \end{aligned} \right\} \quad (35)$$

При составлении скалярного произведения отбрасываем величины высшего порядка малости.

Подставим формулы (35) в формулу (33):

$$\begin{aligned} \chi_{1,2}^* &= \frac{1}{2} \left[ \frac{1}{\alpha_1 \cdot \alpha_2} \frac{\partial \alpha_2}{\partial \xi_1} v_2 + \frac{1}{\alpha_2 \cdot \alpha_1} \frac{\partial \alpha_1}{\partial \xi_2} v_1 - \frac{1}{\alpha_2} \frac{\partial v_1}{\partial \xi_2} - \right. \\ &\quad \left. - \frac{1}{\alpha_1} \frac{\partial v_2}{\partial \xi_1} \right] + \frac{1}{2} \left( \frac{w_2}{R_1} + \frac{w_1}{R_2} \right) = \chi_{1,2} + w, \end{aligned} \quad (36)$$

$$\text{где } \chi_{1,2} = \frac{1}{2} \left[ \frac{\alpha_2}{\alpha_1} \frac{\partial}{\partial \xi_1} \left( \frac{1}{\alpha_2^2} \frac{\partial w}{\partial \xi_2} + \frac{U_{10}}{\alpha_2 \cdot R_2} \right) + \frac{\alpha_1}{\alpha_2} \frac{\partial}{\partial \xi_2} \left( \frac{1}{\alpha_1^2} \frac{\partial w}{\partial \xi_1} + \frac{U_{20}}{\alpha_1 \cdot R_1} \right) \right]. \quad (37)$$

Сравниваем выражения (37) и (30) Они получились одинаковыми. Таким образом в силу формулы (28) деформация сдвига по толщине оболочки действительно связана с кручением срединной поверхности. Отброшенная величина

$$w = \frac{1}{2} \left( \frac{w_1}{R_1} + \frac{w_2}{R_2} \right), \quad (38)$$

где  $w_1$  и  $w_2$  определяются из (14), (16) и характеризуют деформацию сдвига срединной поверхности

**Выводы.** В результате анализа изменения сетки координатных линий при деформации тонкой оболочки установлено: на изгибные деформации по толщине оболочки оказывает влияние изгибание срединной поверхности без растяжений, сжатий и искажений углов координатной сетки. Полученные результаты используются при оценки напряжённого состояния цилиндрической оболочки, а также для оптимизации конструктивных параметров роликов в передачах с промежуточными телами качения.

**Список литературы:** 1. Бидерман В.Л. Механика тонкостенных конструкций. М.: Машиностроение, 1977. – 488 с. 2. Новожилов В. В. Теория тонких оболочек. Л.: Судостроение, 1962.- 431 с. 3. Тимошенко С.П., Войновский-Кригер С. Пластинки и оболочки. М. Физматгиз, 1963. – 635 с.

Сдано в редакцию 29.04.05  
Рекомендовано д.т.н., проф. Бухач А.